

1. 使用 relaxation method 解泊松方程:

$$\nabla^2 \varphi(x, y) = -\frac{\rho(x, y)}{\varepsilon_0}$$

定义 *Gauss\_Seidel*(*L<sub>x</sub>*, *L<sub>y</sub>*, *h*, *err*, *iter*) 函数来实现 Gauss-Seidel method。

```
5 def Gauss_Seidel(L_x, L_y, h, err, iter):
6     # x belongs to [0, L_x]
7     # y belongs to [0, L_y]
8     # h = Δx = Δy
9     # err - maximum error
10    # iter - maximum iteration times
11    n_x = int((L_x / h) + 1)
12    n_y = int((L_y / h) + 1)
13    x = np.linspace(0, L_x, n_x)
14    y = np.linspace(0, L_y, n_y)
15    X, Y = np.meshgrid(x, y)
```

$x \in [0, L_x], y \in [0, L_y]$ ,  $h$  是  $x$  方向和  $y$  方向上的步长,  $err$  是所能允许的最大误差,  $iter$  是最大迭代次数。  $n_x = \frac{L_x}{h} + 1, n_y = \frac{L_y}{h} + 1$  分别是  $x$  方向和  $y$  方向上的格点数, 并生成  $X, Y$  两个矩阵以便后续画三维图时使用。

```
17    f = np.zeros([n_y, n_x]) # Source term f(x, y) = 0
18    # f = -np.ones([n_y, n_x])
19    u = np.ones([n_y, n_x]) # Initial guess
20    u[0, :] = 0.0           # Boundary conditions
21    u[-1, :] = 0.0
22    u[:, 0] = 0.0
23    u[:, -1] = 1.0
24    # u[:, -1] = 0.0
25    error = 1.0             # Set an arbitrary initial error
26    iteration = 0           # Iteration times
```

$$\nabla^2 \varphi(x, y) = -\frac{\rho(x, y)}{\varepsilon_0} = f(x, y)$$

$f(x, y)$  就是方程的 *source term*,  $u(x, y)$  就是我们要求的  $\varphi(x, y)$ 。易知  $f, u$  都是  $y \times x$  的矩阵 ( $y$  轴对应矩阵的行数,  $x$  轴对应矩阵的列数, 所以矩阵是  $y \times x$  而不是  $x \times y$ )。

初始化  $f, u$  矩阵, 对于 (a) 题  $f$  值全部为 0, 对于 (b) 题  $f$  值全部为 -1; 对于两个小题,  $u$  的初值均全部设为 1。然后对 (a) (b) 题设置不同的边界条件, 两题不同之处在于: (a) 题  $u[x, -1] = \varphi(x, L_y) = 1.0$ , (b) 题  $u[x, -1] = \varphi(x, L_y) = 0.0$ 。并将迭代次数  $iteration$  设为 0。

```

28 while error > err and iteration < iter:
29     u_temp = u.copy()
30
31     for i in range(1, n_y - 1):
32         for j in range(1, n_x - 1):
33             u[i, j] = (u[i+1, j] + u[i-1, j] + u[i, j+1] + u[i, j-1] - f[i, j]*h*h) / 4
34
35     error = (abs(u - u_temp)).max()
36     iteration += 1

```

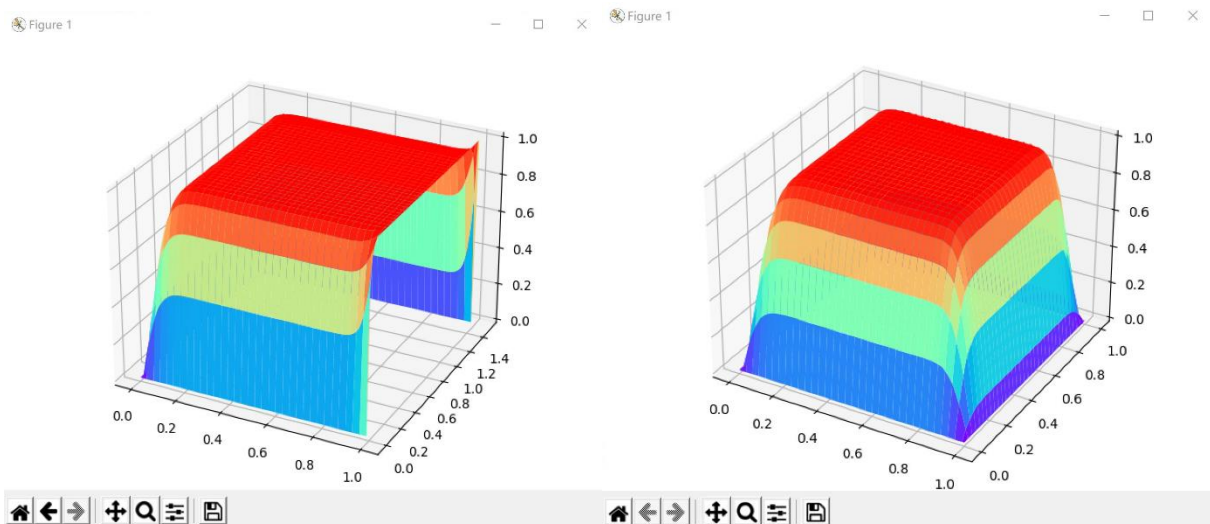
迭代继续的条件为误差 $error$ 仍大于设定的最大误差 $err$ ，或者迭代次数 $iteration$ 仍小于设定的最大迭代次数 $iter$ 。边界条件 $u[0, y] = u[-1, y] = u[x, 0] = 0.0, u[x, -1] = 1.0$ 在迭代过程中不能改变，所以改变的就是 $u[x, y] (x \in [1, n_y - 1], y \in [1, n_x - 1])$ 。每次迭代中 $u[i, j] = \frac{u[i+1, j] + u[i-1, j] + u[i, j+1] + u[i, j-1] - h^2 f[i, j]}{4}$ ，并重新计算误差 $error$ 和迭代次数 $iteration$ 。

```

38 fig = plt.figure()
39 ax = Axes3D(fig)
40 ax.plot_surface(X, Y, u, cmap='rainbow')
41 plt.show()
42
43 Gauss_Seidel(1.0, 1.5, 0.01, 0.01, 1000)
44 # Gauss_Seidel(1.0, 1.0, 0.01, 0.01, 1000)

```

最后将得到的 $u = \varphi(x, y)$ 绘制成三维图，得到的结果如图所示：



左图对应(a)题，右图对应(b)题。

Input:  $\nabla^2 \varphi(x, y) = -\frac{\rho(x, y)}{\varepsilon_0}$ , boundary conditions

Output:  $\varphi(x, y)$

1. **Function** *Gauss\_Seidel*( $L_x, L_y, h, err, iter$ )

2.  $n_x \leftarrow \text{int}\left(\frac{L_x}{h}\right) + 1, n_y \leftarrow \text{int}\left(\frac{L_y}{h}\right) + 1$

3.  $f \leftarrow \begin{pmatrix} 0 & \dots & 0 \\ \vdots & \ddots & \vdots \\ 0 & \dots & 0 \end{pmatrix}, u \leftarrow \begin{pmatrix} 1 & 1 & \dots & 1 & 1 \\ 0 & 1 & \dots & 1 & 0 \\ \vdots & \vdots & \ddots & \vdots & \vdots \\ 0 & 1 & \dots & 1 & 0 \\ 0 & 0 & \dots & 0 & 0 \end{pmatrix}$

4.  $error \leftarrow 1.0, iteration \leftarrow 0$

5. **While**  $error > err$  **And**  $iteration < iter$  **Do**

6.  $u_{temp} \leftarrow u$

7. **For**  $i \leftarrow 1$  to  $n_y - 2$  **Do**

8. **For**  $j \leftarrow 1$  to  $n_x - 2$  **Do**

9.  $u[i, j] \leftarrow \frac{u[i+1, j] + u[i-1, j] + u[i, j+1] + u[i, j-1] - h^2 f[i, j]}{4}$

10.  $error \leftarrow \max \{|u - u_{temp}|\}$

11.  $iteration \leftarrow iteration + 1$

12. **Return**  $u$

13. **End Function**

2. 用 Crank–Nicolson method 求解含时薛定谔方程。由于是方势阱，可以设  $V(-L \leq x \leq L) = 0$ ，薛定谔方程化为：

$$-\frac{\hbar^2}{2m} \frac{\partial^2 \psi}{\partial x^2} = i\hbar \frac{\partial \psi}{\partial t}$$

令  $\Delta x = a, \Delta t = h$ ，上式可化为：

$$\begin{aligned} \psi(x, t+h) - h \frac{i\hbar}{4ma^2} [\psi(x+a, t+h) - 2\psi(x, t+h) + \psi(x-a, t+h)] \\ = \psi(x, t) + h \frac{i\hbar}{4ma^2} [\psi(x+a, t) - 2\psi(x, t) + \psi(x-a, t)] \end{aligned}$$

将方程写为矩阵形式：

$$\mathbf{A}\psi(t+h) = \mathbf{B}\psi(t)$$

其中：

$$\psi(t) = (\psi(a, t), \psi(2a, t), \psi(3a, t) \dots)^T$$

$\mathbf{A}, \mathbf{B}$  均为三对角矩阵：

$$\mathbf{A} = \begin{pmatrix} a_1 & a_2 & 0 & 0 & \dots \\ a_2 & a_1 & a_2 & 0 & \dots \\ 0 & a_2 & a_1 & a_2 & \dots \\ 0 & 0 & a_2 & a_1 & \dots \\ \vdots & \vdots & \vdots & \vdots & \ddots \end{pmatrix}, \quad \mathbf{B} = \begin{pmatrix} b_1 & b_2 & 0 & 0 & \dots \\ b_2 & b_1 & b_2 & 0 & \dots \\ 0 & b_2 & b_1 & b_2 & \dots \\ 0 & 0 & b_2 & b_1 & \dots \\ \vdots & \vdots & \vdots & \vdots & \ddots \end{pmatrix}$$

其中：

$$a_1 = 1 + h \frac{i\hbar}{2ma^2}, a_2 = -h \frac{i\hbar}{4ma^2}, b_1 = 1 - h \frac{i\hbar}{2ma^2}, b_2 = h \frac{i\hbar}{4ma^2}$$

进行无量纲化处理，令  $\alpha = \frac{\Delta t}{\Delta x^2} = \frac{h}{a^2}, \frac{\hbar}{4m} = 1$ ：

$$a_1 = 1 + 2i\alpha, a_2 = -i\alpha, b_1 = 1 - 2i\alpha, b_2 = i\alpha$$

$$\psi(t+h) = \mathbf{A}^{-1}\mathbf{B}\psi(t)$$

定义 `Crank_Nicolson(alpha, psi)` 函数来实现 Crank-Nicolson method，通过  $\alpha$  和  $\psi_n$  来求出  $\psi_{n+1}$ 。

$n = \text{len}(\text{psi})$  就是我们要设置的  $\mathbf{A}, \mathbf{B}$  两个矩阵的维数。通过 python 与稀疏矩阵有关的库 `scipy.sparse`，我们可以在对角线上设置元素，以构造  $\mathbf{A}, \mathbf{B}$  两个三对角矩阵。

$$\begin{aligned} \text{vec1} &= [i\alpha, i\alpha, \dots], & \text{vec2} &= [1 - 2i\alpha, 1 - 2i\alpha, \dots], \\ \text{vec3} &= [-i\alpha, -i\alpha, \dots], & \text{vec4} &= [1 + 2i\alpha, 1 + 2i\alpha, \dots] \end{aligned}$$

```

6 def Crank_Nicolson(alpha, psi):
7     # psi - The wave function  $\psi_n$ 
8     # alpha -  $\Delta t/\Delta x^2$ 
9     # Return the wave function  $\psi_{n+1}$ 
10    n = len(psi)
11    diags = np.array([0, -1, 1])
12    vec1 = np.array([alpha*1j for i in range(n)])
13    vec2 = np.array([(1 - 2*alpha*1j) for i in range(n)])
14    vec3 = np.array([-alpha*1j for i in range(n)])
15    vec4 = np.array([(1 + 2*alpha*1j) for i in range(n)])
16
17    data1 = np.array([vec2, vec1, vec1])
18    U1 = spdiags(data1, diags, n, n).toarray()
19
20    data2 = np.array([vec4, vec3, vec3])
21    U2 = spdiags(data2, diags, n, n).toarray()
22
23    inv_U2 = np.linalg.inv(U2)
24    U = np.dot(inv_U2, U1)
25    next_psi = np.dot(U, psi)
26    next_psi[0] = next_psi[-1] = 0.0+0.0j
27
28    return next_psi

```

设置完后，我们有：

$$\begin{aligned}
 \mathbf{U}_2 = \mathbf{A} &= \begin{pmatrix} 1+2i\alpha & -i\alpha & 0 & 0 & \dots \\ -i\alpha & 1+2i\alpha & -i\alpha & 0 & \dots \\ 0 & -i\alpha & 1+2i\alpha & -i\alpha & \dots \\ 0 & 0 & -i\alpha & 1+2i\alpha & \dots \\ \vdots & \vdots & \vdots & \vdots & \ddots \end{pmatrix}, \\
 \mathbf{U}_1 = \mathbf{B} &= \begin{pmatrix} 1-2i\alpha & i\alpha & 0 & 0 & \dots \\ i\alpha & 1-2i\alpha & i\alpha & 0 & \dots \\ 0 & i\alpha & 1-2i\alpha & i\alpha & \dots \\ 0 & 0 & i\alpha & 1-2i\alpha & \dots \\ \vdots & \vdots & \vdots & \vdots & \ddots \end{pmatrix} \\
 \psi_{n+1} &= \mathbf{U}_2^{-1} \mathbf{U}_1 \psi_n
 \end{aligned}$$

由于我们求解的是方势阱中的波函数，为简化问题，将方势阱当作无限深方势阱，波函数在势阱的两个端点处应该为 0，所以设置  $\psi[0] = \psi[-1] = 0$ 。

*Initial\_State(x)* 函数定义了波函数的初始形式，即：

$$\psi(x, 0) = \sqrt{\frac{1}{\pi}} \exp\left(ix - \frac{x^2}{2}\right)$$

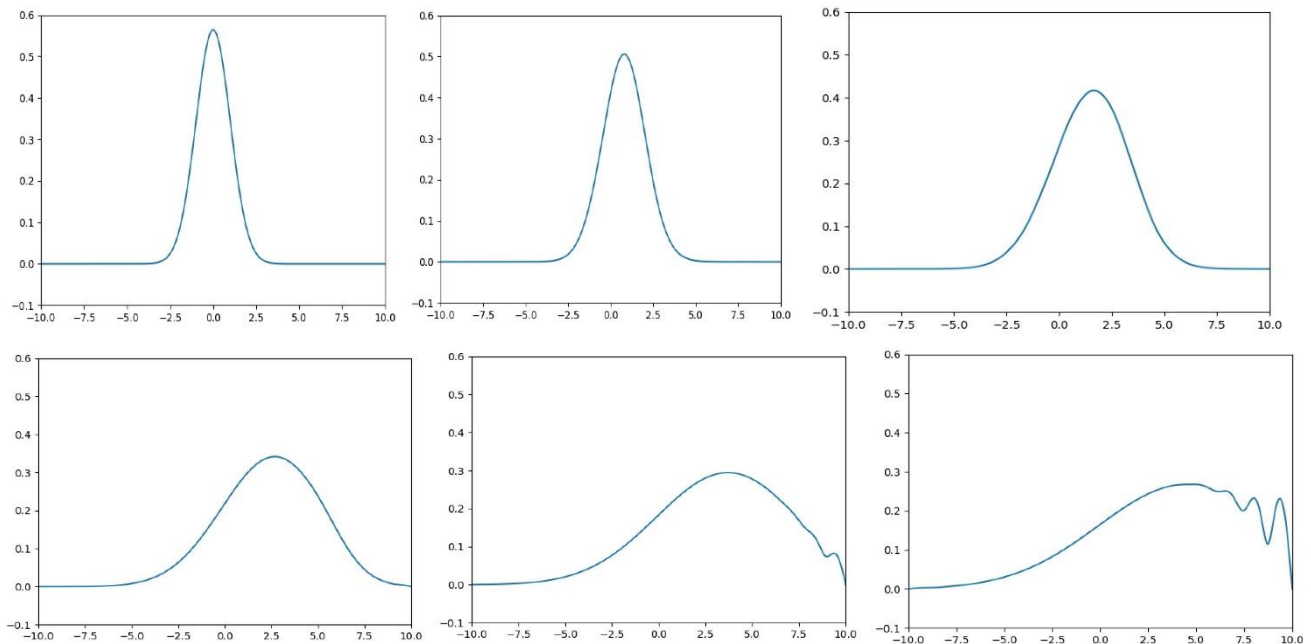
```

30 def Initial_State(x):
31     # Calculate the Gaussian initial state  $\psi(x,0)$ 
32     psi = np.sqrt(1 / np.pi) * np.exp(1j * x - x**2 / 2)
33     return psi
34
35 def wave_function():
36     plt.ion()
37     x = np.linspace(-10, 10, 2001)
38     y = Initial_State(x)
39     y[0] = y[-1] = 0.0+0.0j
40
41     for i in range(50):
42         plt.clf()
43         plt.axis([-10, 10, -0.1, 0.6])
44         plt.plot(x,abs(y))
45         y = Crank_Nicolson(500, y)
46         plt.pause(0.05)
47
48     return x, y

```

初始波函数处在势阱的中心，势阱范围 $x \in [-10,10]$ ，我们取间隔 $\Delta x = 0.01$ ，共 2001 个点。调用 $Crank\_Nicolson(alpha, psi)$ 函数时取 $alpha = \alpha = \frac{\Delta t}{\Delta x^2} = 500$ ，故 $\Delta t = 0.05s$ 。

我们把一系列波函数 $\psi_0, \psi_1, \psi_2 \dots$ 绘制出来，就形成了波函数随时间的演化图。结果如图所示（由于要求解 $2001 \times 2001$ 的矩阵，因此需要一点计算时间）：



可以看出，波函数向右传播，峰逐渐变矮变宽。由于我只是简单地把边界条件设为 0，当波函数的峰逐渐接近边界时，波函数出现了剧烈震荡。

Input:  $\psi(x, 0) = \sqrt{\frac{1}{\pi}} \exp(ix - \frac{x^2}{2})$ , boundary conditions

Output:  $\psi(x, t)$

1. **Function** *Crank\_Nicolson(alpha, psi)*

2.  $n \leftarrow \text{len}(\text{psi})$

$$3. \mathbf{U}_1 \leftarrow \begin{pmatrix} 1 - 2i\alpha & i\alpha & 0 & 0 & \dots \\ i\alpha & 1 - 2i\alpha & i\alpha & 0 & \dots \\ 0 & i\alpha & 1 - 2i\alpha & i\alpha & \dots \\ 0 & 0 & i\alpha & 1 - 2i\alpha & \dots \\ \vdots & \vdots & \vdots & \vdots & \ddots \end{pmatrix}$$

$$4. \mathbf{U}_2 \leftarrow \begin{pmatrix} 1 + 2i\alpha & -i\alpha & 0 & 0 & \dots \\ -i\alpha & 1 + 2i\alpha & -i\alpha & 0 & \dots \\ 0 & -i\alpha & 1 + 2i\alpha & -i\alpha & \dots \\ 0 & 0 & -i\alpha & 1 + 2i\alpha & \dots \\ \vdots & \vdots & \vdots & \vdots & \ddots \end{pmatrix}$$

5.  $\mathbf{U} \leftarrow \mathbf{U}_2^{-1} \mathbf{U}_1$

6.  $\text{next\_psi} \leftarrow \mathbf{U} \cdot \text{psi}$

7. **Return** *next\_psi*

8. **End Function**

9. **Function** *Initial\_State(x)*

10.  $\text{psi} \leftarrow \sqrt{\frac{1}{\pi}} \exp(ix - \frac{x^2}{2})$

11. **Return** *psi*

12. **End Function**

13. **Function** *wave\_function()*

14.  $x \leftarrow [-10, -9.99, -9.98, \dots, 9.98, 9.99, 10]$

15.  $y \leftarrow \text{Initial\_State}(x)$

16.  $y[0], y[-1] \leftarrow 0$

17. **For**  $i \leftarrow 1$  **to** 30 **Do**

18.  $\text{plot}(x, |y|)$

19.  $y \leftarrow \text{Crank\_Nicolson}(500, y)$

20. **Return**  $x, y$

21. **End Function**